第1部門

鋼製橋脚の地震時応答ひずみを用いた多軸材料試験

京都大学大学院 学生員 〇西井 隆太郎 京都大学大学院 正会員 杉浦 邦征 京都大学大学院 正会員 佐藤 顕彦 京都大学大学院 正会員 安 琳

1. はじめに

FEM モデル上では材料非線形性を正確に反映することが困難であり、構造物の地震時応答の解析精度には課題がある[1]. そこで、本研究ではレベル2地震動に対する地震応答解析と2軸材料実験の結果を比較し、解析上の材料構成則モデルの問題点を指摘する.

2. 対象橋脚及び解析モデル

2.1. 対象橋脚

本研究の対象橋脚は3径間連続鋼箱桁を支持する鋼製橋脚であり、地表面から天端までの高さは19.4mである.支承は本橋脚のみ固定支承であり、他の橋脚とは橋軸方向に可動する支承で結合されている.なお、地表面から2mまでコンクリートが充填されており、1.4mまでは根巻きコンクリートが存在する.

2.2. 解析モデル

本研究では,汎用有限要素解析ソフトウェア Abaqus2020 を用いて解析を行った. 図-1 に本橋脚の 解析モデルを示す. 解析モデルは図面を参考にコンク リートはソリッド要素,鋼はシェル要素で作成した. 解析で設定した材料特性を表-1に示す. 本研究では鋼 材の弾塑性解析を行うため、降伏後の応力ひずみ関係 をバイリニアモデルで設定した. 2次勾配は(降伏ひ ずみ,降伏応力)と(破断伸び,引張強度)の2点を 結ぶ直線から求めた. 用いたパラメータを表-2 に示 す. なお、コンクリートは線形弾性体としてモデル化 し、損傷は考慮していない. 基部の境界条件は橋軸, 橋軸直角方向は完全固定とし、鉛直方向にはばね定数 $k = 2.45 \times 10^6$ N/mm のばねを挿入した. 載荷条件と して, まず重力加速度(9.8 m/s²)をモデル全体に作用さ せる. また, 橋軸方向は本橋脚のみが可動支承となっ ており、上部工の慣性力は本橋脚本橋脚のみで負担す ると考えられる. よって, 上部工重心位置に橋軸方向 にのみ慣性力を載荷した. 本研究では対象橋脚に対し レベル2地震動の2方向載荷を行い、動的解析を行っ た. 本研究で用いた地震波は兵庫県南部地震のポート

アイランド地盤上で計測された地震波を道路示方書に 記載された方法で振幅調整を行ったものである.

表-1 材料特性

材料	$E(N/mm^2)$	ν	ρ (ton/mm ²)
鋼材	2.06×10 ⁵	0.3	7.86×10 ⁻⁹
コンクリート	2.55×10 ⁴	0.167	2.55×10 ⁻⁹

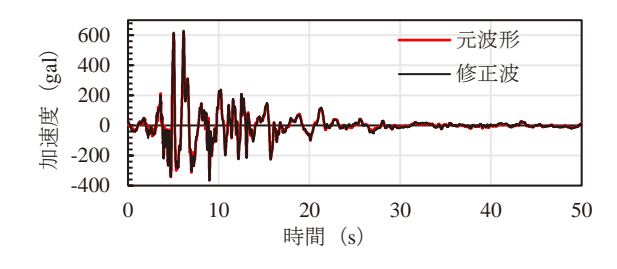
表-2 応力ひずみ関係モデル

鋼種	降伏 応力 (MPa)	引張 強度 (MPa)	破断 伸び (ε)	2 次勾配 (GPa)
SM520B	355	520	0.19	0.717
SM490YB SM490YA	355	490	0.19	0.876
SS400	235	400	0.17	0.918

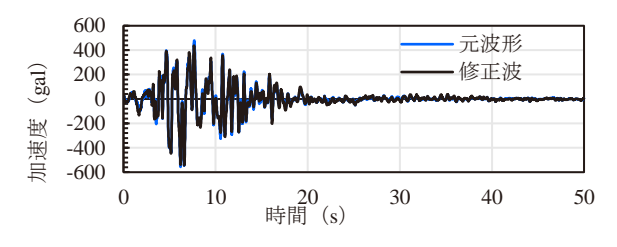
高さ:地表面から19.4 m 断面寸法:矩形 板厚・鋼種分布: 地表面から

0-5.0 m SM520B 34 mm SM490YB 23 mm 5.0-14.44 m SM490YB 20 mm 14.44-19.4 m SM490YB 25 mm

図-1 解析モデル



(a) 橋軸(Y)方向加速度



(b) 橋軸直角(X)方向加速度 図-2 入力地震波

Ryutaro NISHII, Kunitomo SUGIURA, Akihiko SATO, Lin AN nishii.ryutaro.63s@st.kyoto-u.ac.jp

3. レベル 2 地震動の解析結果

図-3(a)に解析中の7.85 s で降伏している要素を示す. 赤色部が降伏した要素であり, 青色部は降伏していない要素である. 橋脚基部で多くの要素が降伏した. コンクリート充填部と中空部の境界のほか, そこから5.0m 離れた部分でも多くの要素が降伏した. これは板厚変化点にあたり, 板厚が薄い方では比較的高い応力が集中したため広範囲で降伏に至ったと考えられる. 本研究では, 板厚変化部直上の図心付近の単要素のひずみ履歴を利用する.

3.1. 実験概要

本実験では解析結果の図-4に示すひずみ履歴の再現を行い解析と実際の応力ひずみ関係の比較を行う. 試験体を図-5に示す. 載荷は軸ひずみ, せん断ひずみの2方向について, ひずみ制御で静的同時載荷を行った. 軸ひずみの載荷速度は $25~\mu~\epsilon/s$ とした. ひずみの移動時間が小数となる部分では, 移動時間はすべて繰り上げて整数となるようにしている. そのため, せん断ひずみの移動速度は一定にはなっていない.

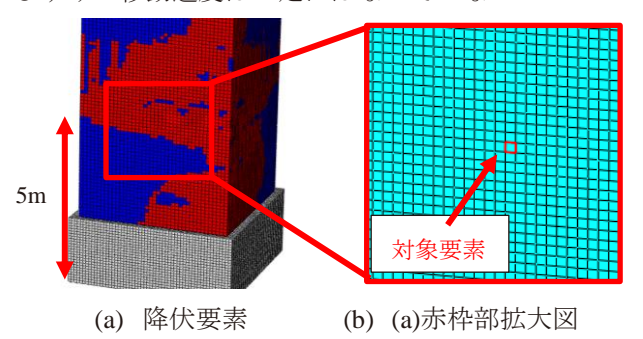


図-3 動的解析コンター図

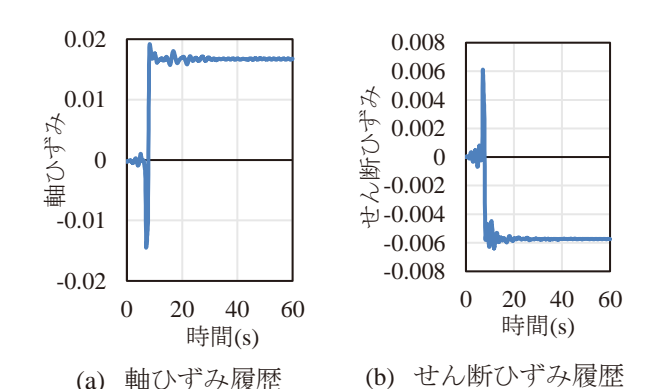


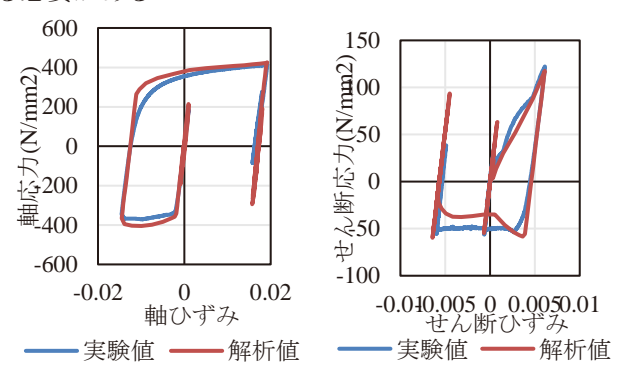
図-4 動的解析でのひずみ履歴



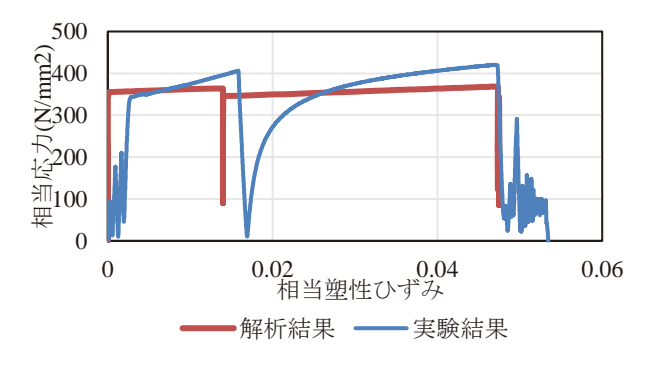
図-5 試験体

3.2. 実験結果

図-6 に応力―ひずみ関係の実験と解析の比較を示 す. 軸方向は応力が実験値のほうが小さくなっている 点が多数ある. また, 相当応力―相当塑性ひずみ関係 を比較すると,実験では解析に比べ最大応力が大きい. この原因としては、破断伸びと引張強度を用いて2次 勾配を設定したため実際よりも勾配が小さいためであ る. また、2 回目の降伏以降は弾性域から塑性域に滑 らかに変化するため降伏点が不明瞭になる.さらに,2 次勾配は4.87 GPa となり, バイリニアモデルに2次勾 配で一般的に用いられている E/100 の値と比べると大 きくなっていた.しかし、2回目の降伏時の最大応力 更新後の2次勾配は2.00 GPaとなった. 硬化則の非線 形により2次勾配が変化する点,2回目以降の降伏点 が不明瞭になる点からもバイリニアモデルでは不十分 であり、勾配の変化を考慮した構成則モデルを提案す る必要がある.



- (a) 軸応力ひずみ
- (b) せん断応力ひずみ関係



(c) 相当応力相当塑性ひずみ関係 図-6 応力ひずみ関係の解析値・実験値の比較

参考文献

[1] 後藤芳顯, 王慶雲, 高橋宜男, 小畑誠: 繰り返 し荷重下の鋼製橋脚の有限要素法による解析 と材料構成則, 土木学会論文集, 1998 年 1998 巻, 591 号, pp. 189-206, 1998